

Přednáška #12: Paralelní algoritmy pro lineární algebru

Základní definice

- $(m \times n)$ -matice:

$$\mathcal{A} = (a_{ij}) = \begin{bmatrix} a_{11} & \dots & a_{1n} \\ \vdots & & \vdots \\ a_{m1} & \dots & a_{mn} \end{bmatrix}$$

- \mathcal{A} je čtvercová, je-li $n = m$, a jinak je obdélníková.
- Je-li \mathcal{A} $(m \times n)$ -matice, pak transpozice \mathcal{A}^T je $(n \times m)$ -matice

$$\mathcal{A}^T = (a_{ji}) = \begin{bmatrix} a_{11} & \dots & a_{m1} \\ \vdots & & \vdots \\ a_{1n} & \dots & a_{mn} \end{bmatrix}$$

- Sloupcový vektor = $(n \times 1)$ -matice (implicitně)

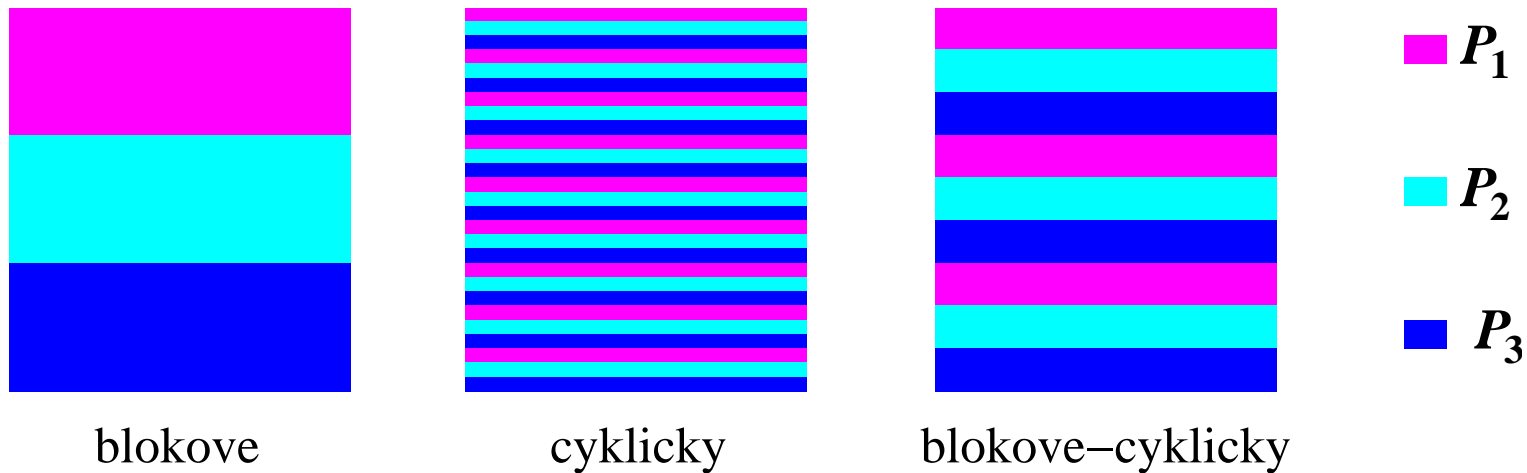
$$\vec{x} = \begin{bmatrix} x_1 \\ \vdots \\ x_n \end{bmatrix}$$

- Řádkový vektor $\vec{x}^T = [x_1, \dots, x_n] = (1 \times n)$ -matice. skalární součin vektorů

Proužkové mapování

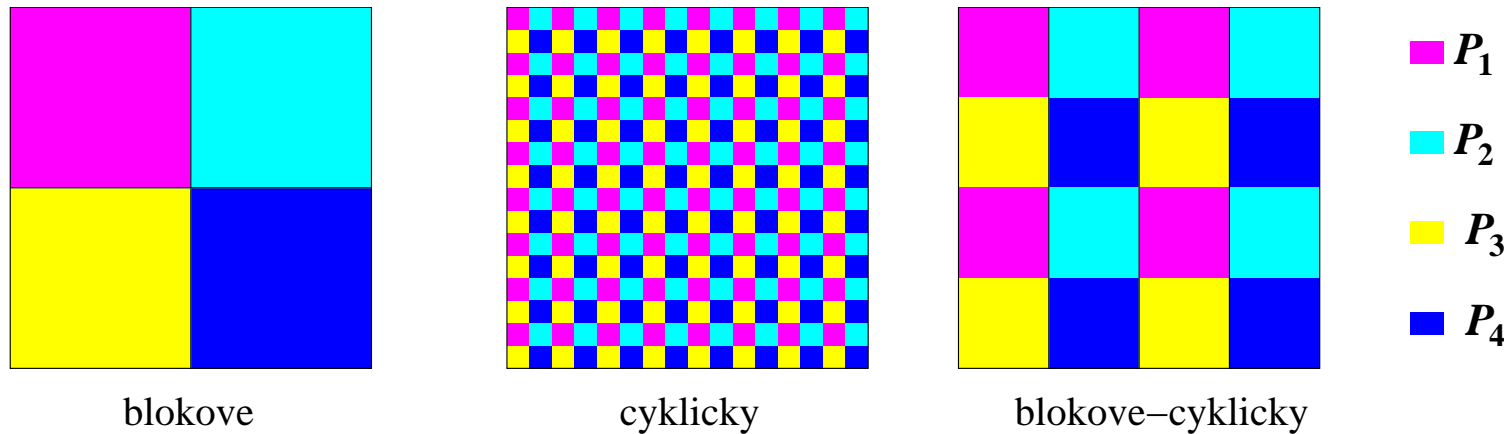
- Po řádcích nebo po sloupcích.
- Blokově, cyklicky, nebo blokově-cyklicky.

Příklad: Proužkové mapování (27×27) -matice po řádcích na $p = 3$ procesory P_1, P_2, P_3 .



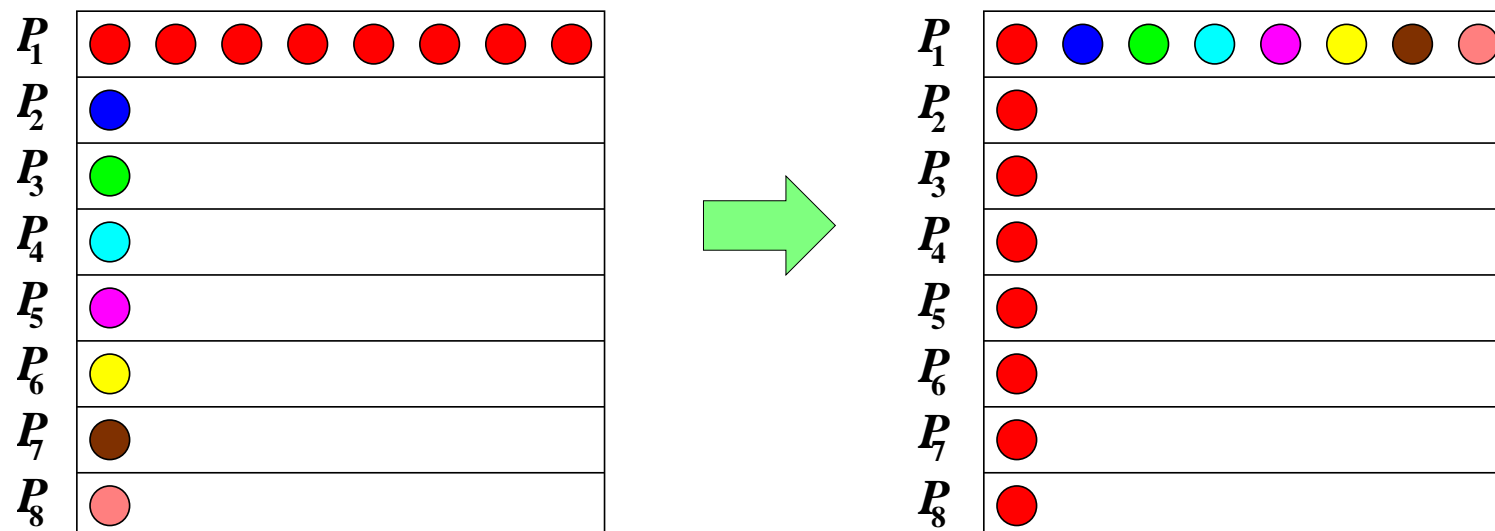
- Procesory tvoří virtuální 1-D mřížku $M(p)$.
- p nedělí $n \implies$ spodní proužky jsou užší.
- Všechna 3 mapování jsou stejnoměrná.
- $\frac{n}{p} \geq p \implies$ blokově \leftrightarrow cyklicky \equiv AAS.

- Procesory tvoří virtuální 2-D mřížku $M(\sqrt{p}, \sqrt{p})$.



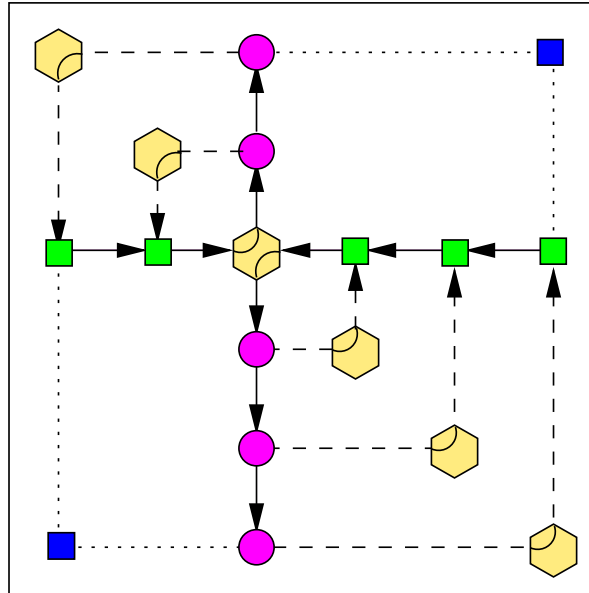
Šachovnicové mapování (16×16) -matice na $p = 2 \times 2$ procesory $P_1 - P_4$.

Transpozice matice mapované proužkově = AAS



SF 2-D mřížka

SF všeportová $M(\sqrt{p}, \sqrt{p})$ s XY směřováním, $\mathcal{A} = (n \times n)$ -matice, $N = n^2$

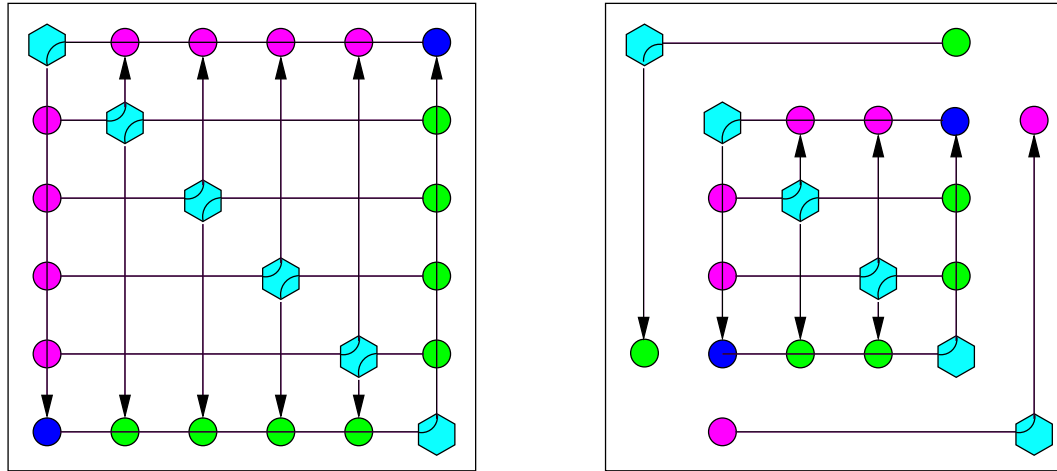


Časová složitost a škálovatelnost

$$T(N, p) = t_s + 2(\sqrt{p} - 1) \frac{N}{p} t_m + O\left(\frac{N}{p}\right).$$

$$E(N, p) = \Theta\left(\frac{1}{\sqrt{p}}\right) \implies \psi_2(N) = 1!!!$$

- WH všeportová $M(\sqrt{p}, \sqrt{p})$ s XY směřováním, $\mathcal{A} = (n \times n)$ -matice, $N = n^2$.
- Blokově šachovnicově mapování $\implies (\frac{n}{\sqrt{p}} \times \frac{n}{\sqrt{p}})$ -submatice na 1 procesor.



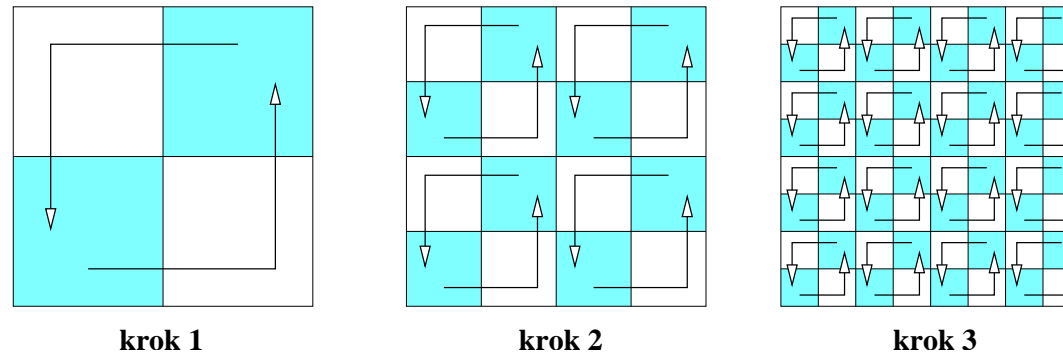
První 2 kroky transpozice matice na WH 2-D mřížce.

Časová složitost a škálovatelnost

$$T(N, p) \doteq (\sqrt{p} - 1)(t_s + \sqrt{p}t_d + \frac{N}{p}t_m) + O\left(\frac{N}{p}\right).$$

$$E(N, p) = \Theta\left(\frac{1}{\sqrt{p}}\right) \implies \psi_2(N) = 1!!!$$

- $\mathcal{A} = (n \times n)$ -matice, $N = n^2$, poloduplexní SF jednoportová Q_q s e-cube směřováním.
- Rekurzivní algoritmus.
 - Fyzická hyperkrychle je vnořena do virtuální 2-D mřížky $M(\sqrt{p}, \sqrt{p})$, kde $p = 2^q$.
 - 1 krok = výměna posunem mezi diagonálně symetr. čtvrtinami matice (submatic).
 - Rekurze skončí na $Q_2 =$ čtverec 4 procesorů



Časová složitost a škálovatelnost

$$T(N, p) = \left(t_s + 2 \frac{N}{p} t_m \right) \frac{q}{2} + O \left(\frac{N}{p} \right) = \left(\frac{t_s}{2} + \frac{N}{p} t_m \right) \log p + O \left(\frac{N}{p} \right).$$

$$E(N, p) = \Theta(1 / \log p) \implies \psi_2(N) = 1!!!$$

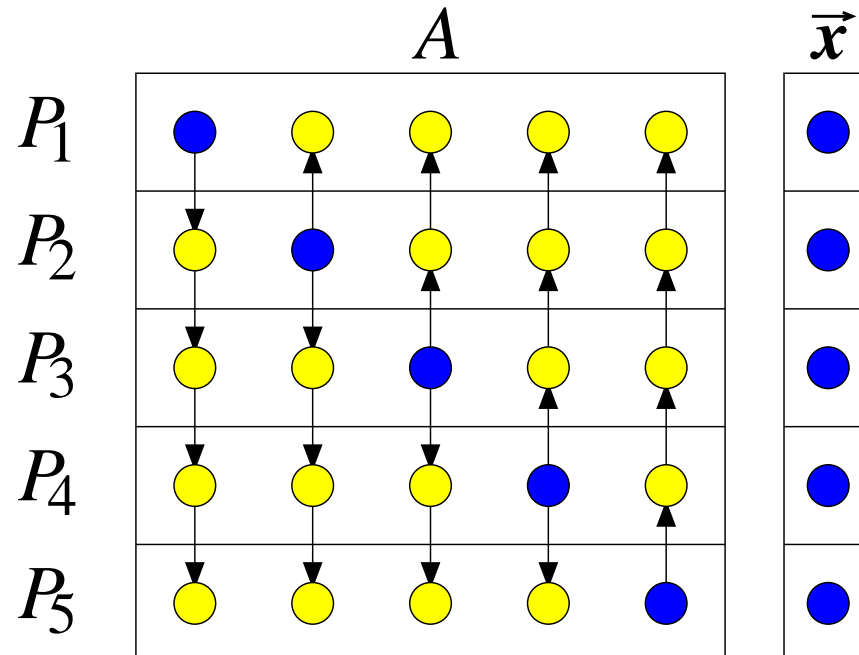
- WH Q_q : přibližně totéž.

MVM: mapování po řádcích

- $\mathcal{A} = (n \times n)$ -matice a \vec{x} a $\vec{y} = (n \times 1)$ -vektory mapované po řádcích na virtuální 1-D mřížku procesorů $M(p)$. Nechť $N = n^2$ a $r = \frac{n}{p}$.

Algoritmus ROWWISEMVM($\mathcal{A}, \vec{x}, \vec{y}$)

- Fáze 1:** Každý P_i pošle svůj subvektor $\vec{x}_{(i-1)r+1}, \dots, x_{ir}$ všem ostatním procesorům (AAB).
- Fáze 2:** Každý P_i vypočte svůj subvektor $\vec{y}_{(i-1)r+1}, \dots, x_{ir}$ sekvenčním provedením r skalárních součinů n -vektorů.



- Složitost fáze 2: $T_2(N, p) = k_2 \frac{N}{p}$ (r skalárních součinů vektorů o délce n).
- Složitost fáze 1: (AAB r čísel) závisí na topologii a HW propojovací síť.
 1. Plně-duplexní 2-portová SF $M(p)$ a nekombinující AAB:

$$T_1(N, p) = p(t_s + k_1 r) \doteq k_1 \sqrt{N}.$$
 2. Plně-duplexní 1-portová SF $M(\sqrt{p}, \sqrt{p})$ a kombinující AAB: AAB po dimenzích

$$T_1(N, p) = \sqrt{p}t_s + k_1 \sqrt{p}r + \sqrt{p}t_s + k_1 \sqrt{p}\sqrt{p}r \doteq k_1 \sqrt{N}.$$
 3. Plně-duplexní 4-portová SF $M(\sqrt{p}, \sqrt{p})$ a nekombinující AAB: TADT metoda

$$T_1(N, p) = \frac{p}{4}(t_s + k_1 r) \doteq \frac{k_1 \sqrt{N}}{4}.$$
 4. Hyperkrychle: podobně.
- Ve všech uvedených případech je $T(N, p) = T_1(N, p) + T_2(N, p) \doteq k'_1 \sqrt{N} + k_2 \frac{N}{p}$.
- Čili $E(N, p) = \frac{k_2 N}{k_2 N + k'_1 p \sqrt{N}} \geq E_0$ pro $\sqrt{N} \geq \frac{E_0 k'_1}{(1-E_0)k_2} p$ a $p \leq \frac{(1-E_0)k_2}{E_0 k'_1} \sqrt{N}$

\implies vynikající škálovatelnost:

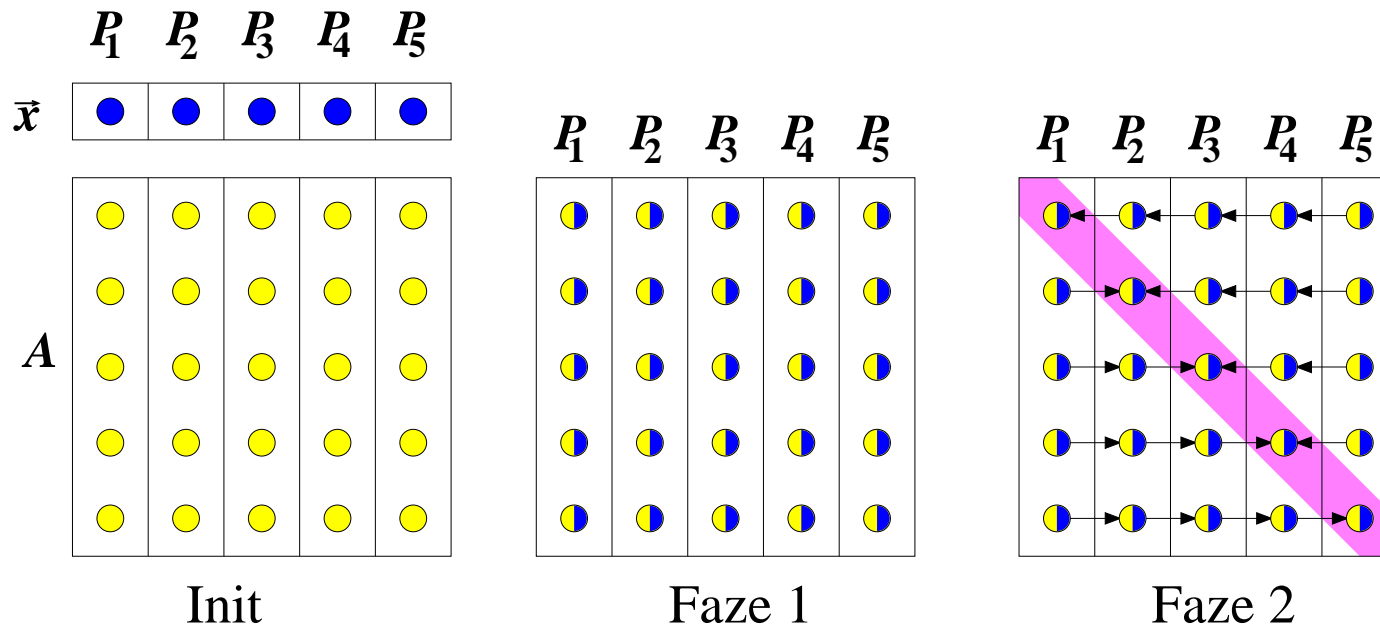
konstantní efektivnost lze dosáhnout i pro konstantní počet řádků \mathcal{A} na 1 procesor!!!

- $\mathcal{A} = (n \times n)$ -matice, $\vec{x} = (n \times 1)$ -vektor, virtuální 1-D mřížka $M(p)$ procesorů.
- Na počátku: P_i má **subvektor** $x_{(i-1)r+1}, \dots, x_{ir}$ a **sloupce** $(i-1)r+1, \dots, ir$ matice \mathcal{A} .
- Na konci: P_i má **subvektor** $y_{(i-1)r+1}, \dots, y_{ir}$.

Algoritmus COLUMNWISEMVM(\mathcal{A} , \vec{x} , \vec{y})

Fáze 1: Každý P_i může okamžitě spočítat svůj příspěvek k \vec{y} .

Fáze 2: Všechny procesory zredukují všech p polí částečných skalárních součinů provedením p redukcí s operací $+$ paralelně (redukce všech-se-všemi).

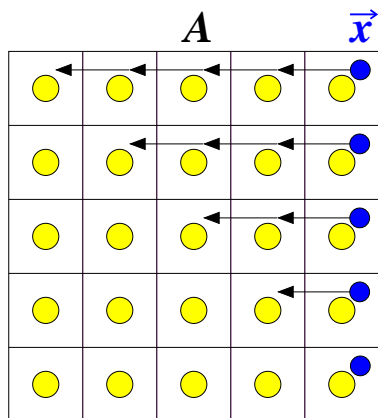


- Řádově stejná časová složitost i škálovatelnost jako v předchozím případě.

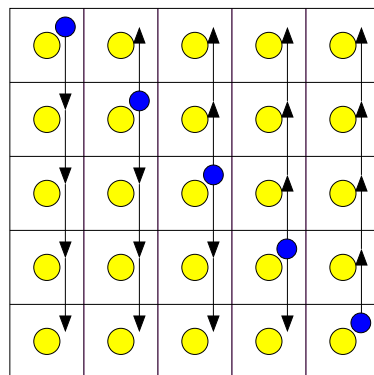
- $\mathcal{A} = (n \times n)$ -matice šachovnicově map. na virtuální $M(\sqrt{p}, \sqrt{p})$, $N = n^2$.
- $\vec{x}, \vec{y} = (n \times 1)$ -vektory mapované na poslední sloupec mřížky $M(\sqrt{p}, \sqrt{p})$

Algoritmus CHECKERBOARDMVM($\mathcal{A}, \vec{x}, \vec{y}$)

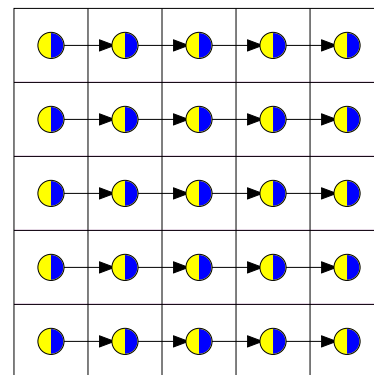
- Fáze 1:** **for all** $i = 1, \dots, \sqrt{p}$ **do_in_parallel**
pravý krajní procesor $P_{i, \sqrt{p}}$ pošle svůj subvektor \vec{x} diagonálnímu $P_{i, i}$.
- Fáze 2:** **for all** $i = 1, \dots, \sqrt{p}$ **do_in_parallel**
 $P_{i, i}$ informuje o obdržení subvektoru \vec{x} svůj sloupec (OAB).
- Fáze 3:** **for all** $i, j = 1, \dots, \sqrt{p}$ **do_in_parallel**
 $P_{i, j}$ vynásobí lokálně submatici \mathcal{A} a subvektor \vec{x} .
- Fáze 4:** **for all** $i = 1, \dots, \sqrt{p}$ **do_in_parallel**
procesory $P_{i, *}$ v řádku i provedou paralelní redukci,
kde kořenem redukčního stromu je pravý krajní procesor $P_{i, \sqrt{p}}$.



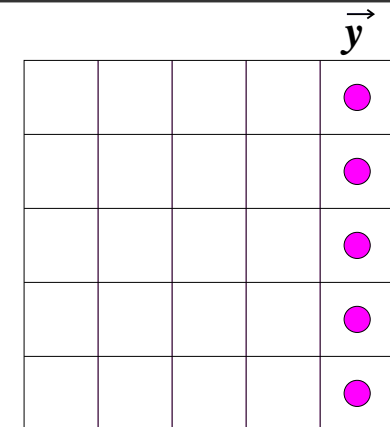
Fáze 1



Fáze 2

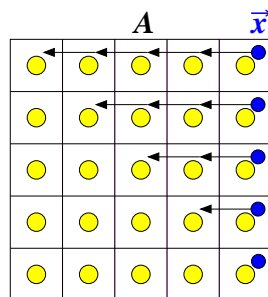


Fáze 4

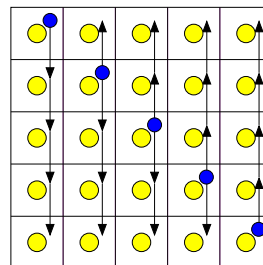


Hotovo

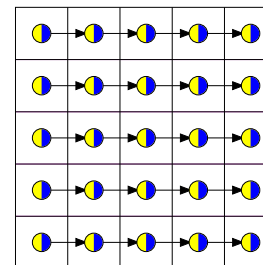
- Každý procesor má přiřazenou $(\sqrt{\frac{N}{p}} \times \sqrt{\frac{N}{p}})$ -submatici.
- Fáze 3: $T_3 = k_3 \frac{N}{p}$ paralelních aritmetických operací.
- Složitost fáze 1 je řádově stejná (SF) nebo nižší (WH) než fáze 2 (tudíž lze zanedbat).
- Složitost fáze 2 \doteq řádová složitost fáze 4.
- Fáze 2 = OAB $\sqrt{\frac{N}{p}}$ čísel: opět závisí na topologii a HW propojovací síť
 - SF mřížka $M(\sqrt{p}, \sqrt{p})$: $T_2 = k_2 2\sqrt{p} \sqrt{\frac{N}{p}} = 2k_2 \sqrt{N} \implies$ stejného řádu jako u algoritmu ROWWISEMVM, čili $E(N, p) \geq E_0$, jestliže $\frac{\sqrt{N}}{p} \geq \text{konst.}$
 - $Q_{\log p}$: $T_2 = k_2 \log p \sqrt{\frac{N}{p}}$
 - $\implies T(N, p) \doteq 2T_2(N, p) + T_3(N, p) = k'_2 \log p \sqrt{\frac{N}{p}} + k_3 \frac{N}{p}$
 - $\implies E(N, p) \geq E_0 \iff N \geq \alpha^2 p \log^2 p \text{ a } p \leq \frac{\beta^2 N}{4 \log^2(\beta \sqrt{N})}, \text{ kde } \alpha = \frac{1}{\beta} = \frac{E_0 k'_2}{(1-E_0)k_3}.$



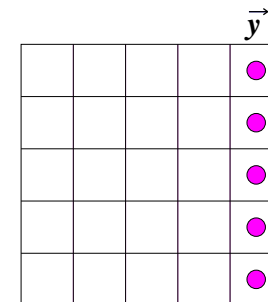
Fáze 1



Fáze 2



Fáze 4



Hotovo

MMM: naivní algoritmus

- $\mathcal{A} = (m \times l)$ -matice a $\mathcal{B} = (l \times n)$ -matice $\implies p = mln$ procesorů, $N = ml + ln$.

Algoritmus $\text{NAIVEMMM}(\mathcal{A}, \mathcal{B}, \mathcal{C})$

Fáze 1: **for all** i, j, k **do_in_parallel**,
procesor $P_{i,j,k}$ vypočítá součin $a_{i,j}b_{j,k}$.

Fáze 2: **for all** i, k **do_in_parallel**,
procesory $P_{i,*,k}$ pomocí paralelní redukce s kořenem redukčního stromu v $P_{i,1,k}$
vypočtou $c_{i,k} = \sum_{j=1}^l a_{i,j}b_{j,k}$.

- Příklady časů: $O(l)$ na SF 3-D mřížce $M(m, l, n)$ a $O(\log l)$ na hyperkrychli $Q_{\log p}$ nebo na WH 3-D mřížce, a proto $E(N, p) = \Theta(1/\sqrt[3]{p})$ na 3-D mřížce a $E(N, p) = \Theta(1/\log p)$ na hyperkrychli.
- Škálování: $p' = m'l'n' < p$ & blokové mapování matic na $M(m', l', n')$.
- Počáteční rozeslání matic: nejvýše stejná složitost jako má fáze 2.

- $(n \times n)$ -matice $\mathcal{C} = \mathcal{A}\mathcal{B}$ na $M(\sqrt{p}, \sqrt{p})$, $\sqrt{p} \leq n$: blokově šachovnicové mapování

Algoritmus STANDARDMMM($\mathcal{A}, \mathcal{B}, \mathcal{C}$)

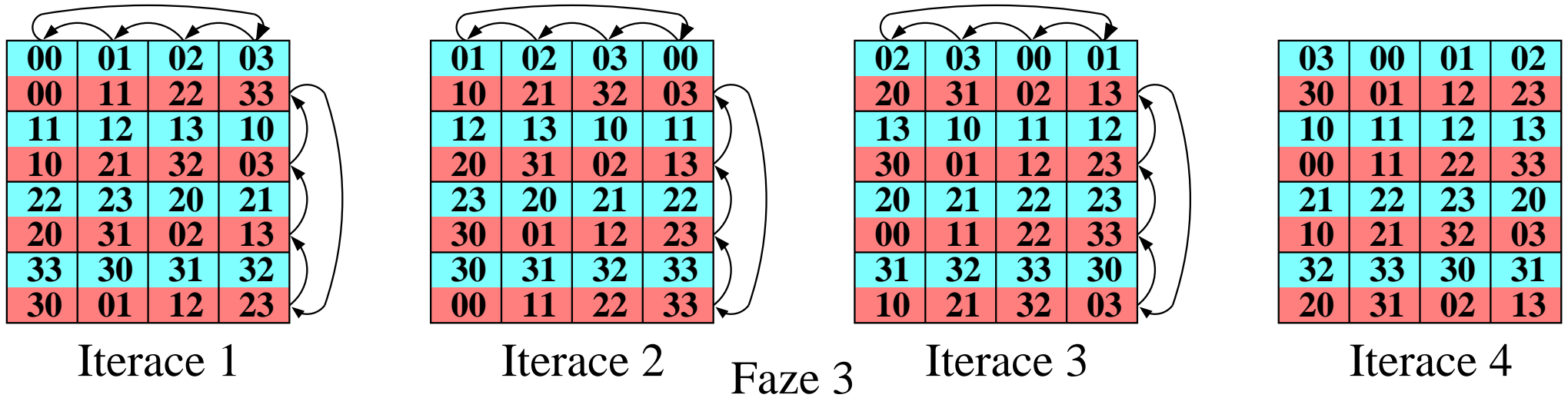
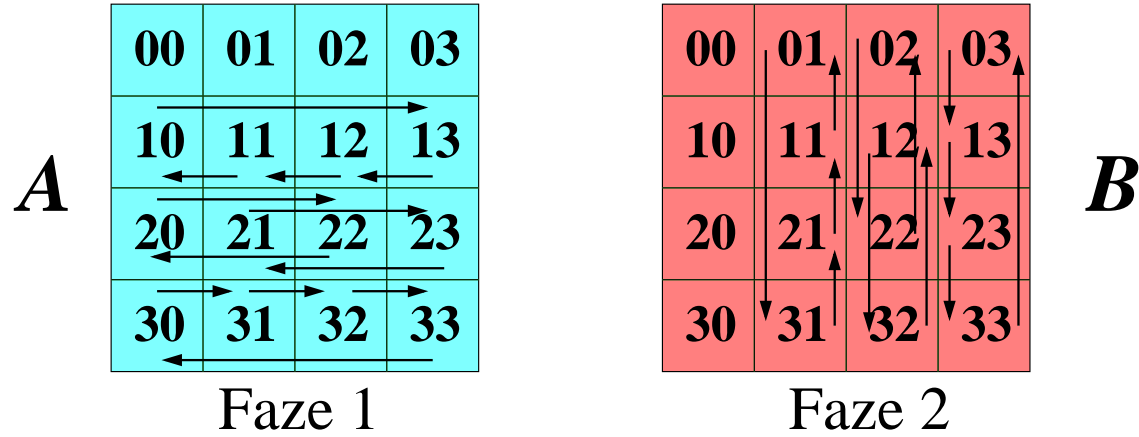
- Fáze 1:** **for all** $i = 1, \dots, \sqrt{p}$ **do_in_parallel**,
procesory $P_{i,*}$ v i -tém řádku virtuální mřížky provedou operaci AAB,
ve které $P_{i,j}$ vysílá svou submatici $\mathcal{A}_{i,j}$.
- Fáze 2:** **for all** $k = 1, \dots, \sqrt{p}$ **do_in_parallel**,
procesory $P_{*,k}$ v k -tém sloupci virtuální mřížky provedou operaci AAB,
ve které $P_{j,k}$ vysílá svou submatici $\mathcal{B}_{j,k}$.
- Fáze 3:** **for all** $i, k = 1, \dots, \sqrt{p}$ **do_in_parallel**,
 $P_{i,k}$ vypočítá $\mathcal{C}_{i,k} = \sum_{j=1}^{\sqrt{p}} \mathcal{A}_{i,j} \mathcal{B}_{j,k}$.

- Předpokládáme-li SF 2-D mřížku a $N = n^2$, pak

$$T(N, p) = O\left(\frac{N}{p} \sqrt{p} + \frac{N}{p} \sqrt{N}\right), \text{ a proto } E(N, p) = \Theta\left(\frac{\sqrt{N}}{\sqrt{N} + \sqrt{p}}\right).$$

$\implies \psi_2(N) = N$, což značí ideální škálovatelnost.

- Paměťově neefektivní: potřebuje celkem $\sqrt{p} \times$ více paměti než sekvenční alg.



Cannonův algoritmus násobení matic na $T(4, 4)$.

Algoritmus CANNONMMM($\mathcal{A}, \mathcal{B}, \mathcal{C}$)

Fáze 1: **for all** $i = 1, \dots, \sqrt{p}$ **do_in_parallel**
všechny submatice $\mathcal{A}_{i,*}$ v řádku i se orotují o $i - 1$ pozic doleva;

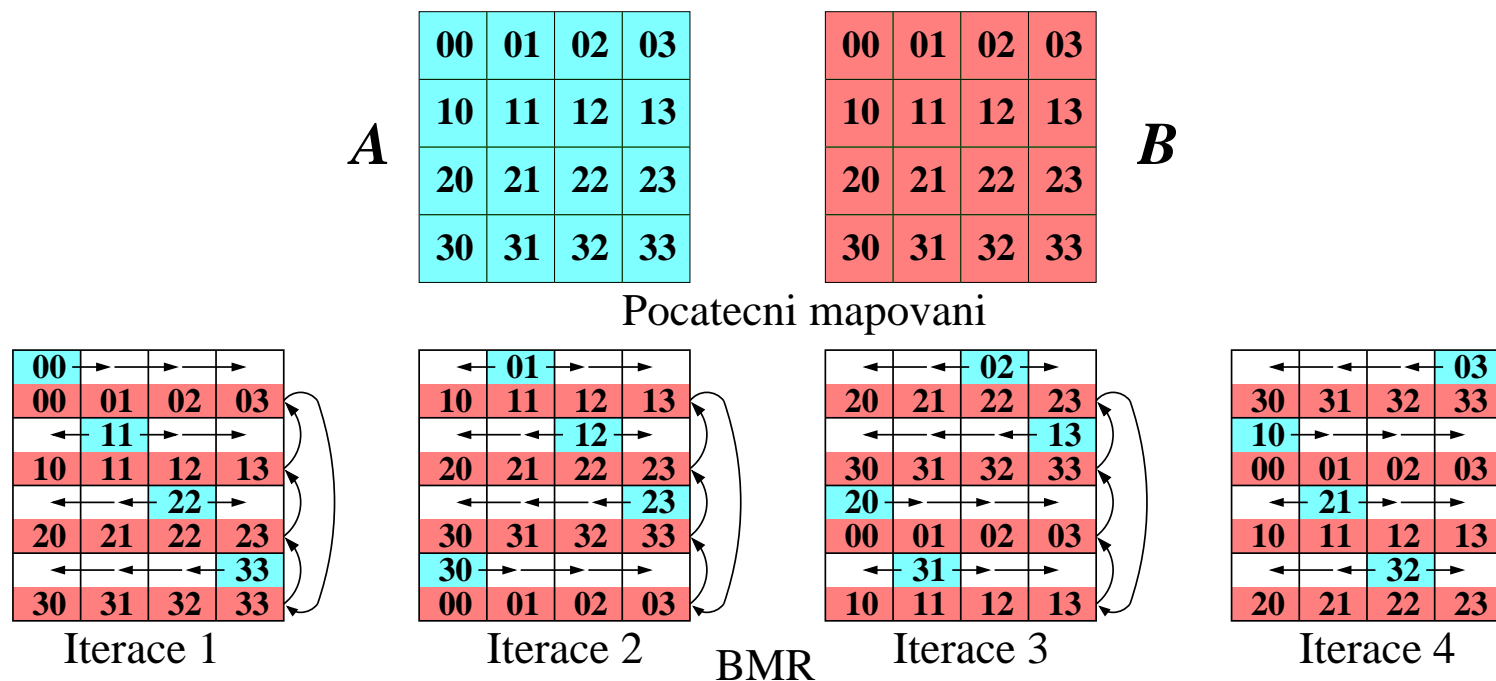
Fáze 2: **for all** $k = 1, \dots, \sqrt{p}$ **do_in_parallel**
všechny submatice $\mathcal{B}_{*,k}$ v sloupci k se orotují o $k - 1$ pozic nahoru;
(* viz permutace cyklický posun v přednášce 9 *)

Fáze 3: **repeat** \sqrt{p} **times**
{ **for all** $i, k = 1, \dots, \sqrt{p}$ **do_in_parallel**
 $P_{i,k}$ vynásobí momentální submatice \mathcal{A} a \mathcal{B} a přičte výsledek do $\mathcal{C}_{i,k}$;
for all $i = 1, \dots, \sqrt{p}$ **do_in_parallel**
všechny submatice $\mathcal{A}_{i,*}$ v řádku i se orotují o 1 pozici doleva;
for all $k = 1, \dots, \sqrt{p}$ **do_in_parallel**
všechny submatice $\mathcal{B}_{*,k}$ v sloupci k se orotují o 1 pozici nahoru; }

Časová složitost a škálovatelnost

Příklad: Všeportová WH hyperkrychle $Q_{\log p} \implies$

$$T_{\text{Cannon}}(N, p) \doteq O(t_s \sqrt{p}) + O\left(\frac{N}{\sqrt{p}} t_m\right) + O\left(\frac{n^3}{p}\right).$$



Algoritmus FoxMMM($\mathcal{A}, \mathcal{B}, \mathcal{C}$)

for all $j = 1, \dots, \sqrt{p}$ **do_sequentially**

 { **for all** $i = 1, \dots, \sqrt{p}$ **do_in_parallel**

$P_{i,(i+j) \bmod \sqrt{p}}$ rozešle submatici $\mathcal{A}_{i,(i+j) \bmod \sqrt{p}}$ v rámci řádku i (OAB);

for all $i, k = 1, \dots, \sqrt{p}$ **do_in_parallel**

$P_{i,k}$ přičte k $\mathcal{C}_{i,k}$ součin přijatých submatic \mathcal{A} a \mathcal{B} ;

for all $k = 1, \dots, \sqrt{p}$ **do_in_parallel**

 všechny submatice $\mathcal{B}_{*,k}$ v sloupci k se orotují o 1 pozici nahoru; }

Časová složitost a škálovatelnost podobná.

- Řešení soustavy lineárních rovnic (SLR) s regulární čtvercovou $(n \times n)$ -maticí \mathcal{A} pro 1 nebo více pravých stran \vec{b} .
 - Metody řešení se liší podle typů matic: husté vs. řídké, dobře vs. špatně podmíněné, symetrické vs. nesymetrické, pozitivně definitní vs. indefinitní ap.
 - Základní skupiny metod jsou:
 - * přímé metody (finitní): pro husté matice,
 - * iterační: pro řídké matice,
 - * gradientní: pro řídké matice.
 - * speciální: pro speciální matice
- Výpočet inverzní matice.
- Výpočet determinantu.
- Hledání vlastních čísel a vektorů.

$$\begin{aligned}
 (f_1x_0 +) g_1x_1 + h_1x_2 &= b_1 \\
 f_2x_1 + g_2x_2 + h_2x_3 &= b_2 \\
 &\dots\dots\dots \\
 f_ix_{i-1} + g_ix_i + h_ix_{i+1} &= b_i \\
 &\dots\dots\dots \\
 f_nx_{n-1} + g_nx_n (+h_nx_{n+1}) &= b_n
 \end{aligned}$$

Myšlenka sudo-liché redukce:

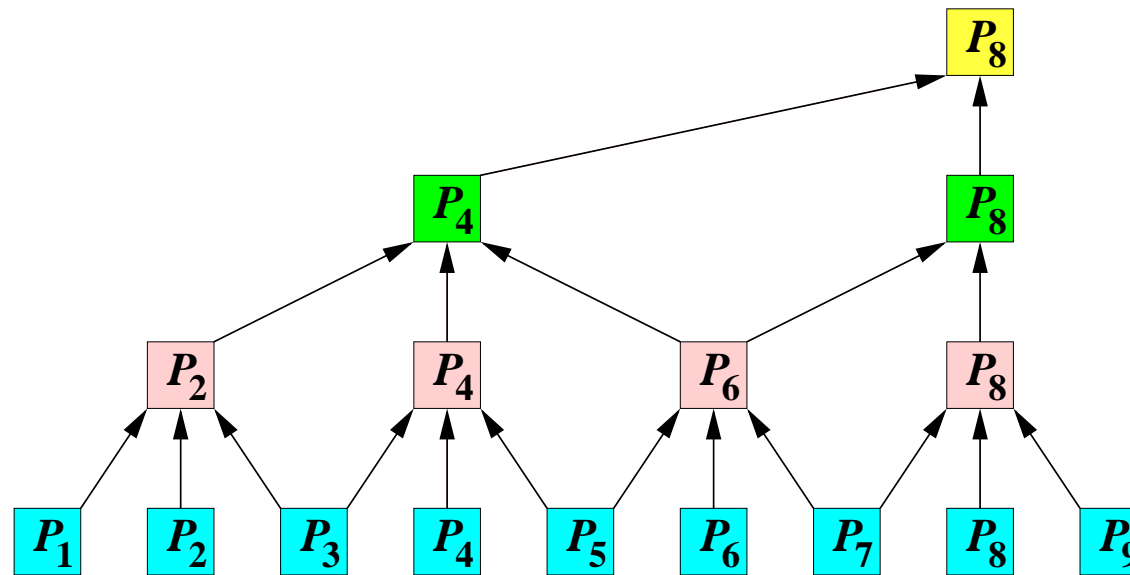
- Jestliže $\forall i; g_i \neq 0$, pak

$$x_i = \frac{1}{g_i}(b_i - f_ix_{i-1} - h_ix_{i+1}).$$

- Substituuj tyto výrazy za x_i s lichým i
 \implies nový tridiagonální SLR s proměnnými x_2, x_4, \dots a s rovnicemi ve tvaru

$$- \left(\frac{f_i f_{i-1}}{g_{i-1}} \right) x_{i-2} + \left(g_i - \frac{h_{i-1} f_i}{g_{i-1}} - \frac{h_i f_{i+1}}{g_{i+1}} \right) x_i - \left(\frac{h_i h_{i+1}}{g_{i+1}} \right) x_{i+2} = b_i - \frac{f_i}{g_{i-1}} b_{i-1} - \frac{h_i}{g_{i+1}} b_{i+1}.$$

- Počet rovnic a neznámých proměnných klesnul na jednu polovinu.
- $SU(n) = O(n)$



- Po k paralelních redukcích: P_{j2^k} komunikuje s $P_{(j+1)2^k}$.
- SF $M(n)$: celková komunikační složitost v $\lceil \log n \rceil$ krocích je $\Theta(n) = \Theta(SU(n))$.
- SF síť G : celková komunikační složitost $\approx \text{diam}(G)$.
- SF Q_n : BRGC \implies konstantní komunikační složitost/krok:
 $\varrho(G_n(j2^k), G_n((j+1)2^k)) \leq 2!!!$
- WH $M(n)$: konstantní komunikační složitost/krok.
- Škálovatelnost: řádkově blokové mapování na hyperkrychli n . WH síti \implies
 $T(n, p) = O(n/p + n/(2p) + n/(4p) + \dots + n/(2^{\log_k p} p) + 1 + \dots + 1)$, kde $k = \log(n/p)$
 $\implies T(n, p) = O(2n/p + \log p) \implies$ dobrá škálovatelnost, jako u PPS algoritmu.

Definice 1. *Elementární řádkové operace (EŘO):*

1. *prohození 2 řádků matice,*
2. *vynásobení/vydělení řádku konstantou,*
3. *přičtení násobku 1 řádku k jinému řádku.*

Gaussova eliminace při řešení $\mathcal{A}\vec{x} = \vec{b}$

$$\begin{bmatrix} a_{1,1} & a_{1,2} & \dots & a_{1,n} \\ a_{2,1} & a_{2,2} & \dots & a_{2,n} \\ \vdots & \vdots & \ddots & \vdots \\ a_{n,1} & a_{n,2} & \dots & a_{n,n} \end{bmatrix} \begin{bmatrix} x_1 \\ x_2 \\ \vdots \\ x_n \end{bmatrix} = \begin{bmatrix} b_1 \\ b_2 \\ \vdots \\ b_n \end{bmatrix}$$

■ Vytvoříme rozšířenou matici \mathcal{A}'

$$\begin{bmatrix} a_{1,1} & a_{1,2} & \dots & a_{1,n} & b_1 \\ a_{2,1} & a_{2,2} & \dots & a_{2,n} & b_2 \\ \vdots & \vdots & \ddots & \vdots & \vdots \\ a_{n,1} & a_{n,2} & \dots & a_{n,n} & b_n \end{bmatrix}$$

- Postupnou aplikací EŘO transformujeme \mathcal{A}' na tvar

$$\begin{bmatrix} a'_{1,1} & a'_{1,2} & \dots & a'_{1,n} & b'_1 \\ 0 & a'_{2,2} & \dots & a'_{2,n} & b'_2 \\ \vdots & \vdots & \ddots & \vdots & \vdots \\ 0 & 0 & \dots & a'_{n,n} & b'_n \end{bmatrix}$$

- Provedením **zpětné substituce**

$$x_i = \frac{1}{a'_{i,i}} \left(b'_i - \sum_{j=i+1}^n a'_{i,j} x_j \right)$$

vypočteme postupně x_n, x_{n-1}, \dots, x_1 .

Algoritmus GAUSSELIM(\mathcal{A} , \vec{x} , \vec{b})

for $i := 0, \dots, n - 1$ **do_sequentially**

(1) **if** ($a_{i,i} = 0$ & $\forall j > i; a_{j,i} = 0$) **then** *Exit(Neřešitelné)*

(2) **if** ($a_{i,i} = 0$ & $\exists j > i; a_{j,i} \neq 0$) **then**

vyber **hlavní prvek** (*pivot*) (* nechť je na řádku j *)

prohod' řádek i a řádek j (* nyní $a_{i,i} \neq 0$ *)

(3) vyděl řádek i prvkem $a_{i,i}$ (* $n - i$ operací dělení *)

(4) vynuluj sloupec i pod diagonálou odčítáním násobků řádku i od řádků $i + 1, \dots, n$.
(* přibližně $(n - i)^2$ operací násobení a odčítání *)

Sekvenční složitost Gaussovy eliminace

- Celkový počet operací dělení na ř. (3) je přibližně $\sum_{i=1}^{n-1} (n - i) \doteq \frac{n^2}{2}$.
- Celkový počet operací násobení a odčítání na ř. (4) je přibližně $\sum_{i=1}^{n-1} (n - i)^2 \doteq \frac{n^3}{3}$.
- Celková sekvenční složitost $SU(n) \doteq \frac{2n^3}{3}t_{\text{mul}} + \frac{n^2}{2}t_{\text{div}}$ za předpokladu, že $t_{\text{mul}} \doteq t_{\text{sub}}$.

- $p = n$: Každý procesor vlastní 1 řádek
- Paralelní operace prováděné v 1 iteraci:
 - Krok (1): paralelní redukce + OAB 1 čísla
 - Krok (2): 1-1 komunikace n čísel
 - Krok (3): lokální provedení přibližně $n - i$ aritm. operací (žádná komunikace)
 - Krok (4): OAB řádku i + lokální provedení přibližně $2(n - i)$ aritm. operací
- Celková // složitost:
 - Dominují kroky (3)+(4).
 - Paralelní aritm. operace: $3 \sum_{i=1}^{n-1} (n - i) \doteq \frac{3n^2}{2}$.
 - OAB v (4) závisí na kom. modelu. Např. WH mřížka: $\sum_{i=1}^{n-1} ((t_s + (n - i)t_m) \log n)$.
 Pak: $T(n^2, n) \doteq \frac{3n^2}{2} + t_s n \log n + \frac{1}{2} t_m n^2 \log n$
- Závěr: není efektivní: komunikační režie převyšuje výpočetní složitost
- Vysvětlení: sekvenční závislost iterací: iterace $i + 1$ začne, až když skončí iterace i
- Řešení: **systolický** (data-flow přístup), pokud řešení **nevyžaduje pivotizaci** (čili provádí se pouze kroky (3) a (4)) !!!!

- 1 iterace = 1 komunikační a výpočetní vlna. (V předchozím algoritmu se vlny nepřekrývaly.)
- Každý procesor P_i přijímá postupně řádky od P_{i-1} , přeposílá je P_{i+1} a současně je zapracovává (krok (4)).
- Jakmile dostane poslední $(i - 1)$ -tou řádku, nečeká, až celá iterace $i - 1$ doběhne, ale jakmile provede krok (3), okamžitě spouští další vlnu.
- $T(n^2, n) = O(n^2)$ i na fyzické 1-D mřížce.
- $p < n$: blokově-řádkové mapování.

- Vytvoříme rozšířenou matici $\mathcal{A}' = [\mathcal{A}|\mathcal{I}_n]$

$$\left[\begin{array}{cccc|cccc} a_{1,1} & a_{1,2} & \dots & a_{1,n} & 1 & 0 & \dots & 0 \\ a_{2,1} & a_{2,2} & \dots & a_{2,n} & 0 & 1 & \dots & 0 \\ \vdots & \vdots & \ddots & \vdots & \vdots & \vdots & \ddots & \vdots \\ a_{n,1} & a_{n,2} & \dots & a_{n,n} & 0 & 0 & \dots & 1 \end{array} \right]$$

- Postupnou aplikací EŘO transformujeme \mathcal{A}' na tvar

$$\left[\begin{array}{cccc|cccc} 1 & 0 & \dots & 0 & b_{1,1} & b_{1,2} & \dots & b_{1,n} \\ 0 & 1 & \dots & 0 & b_{2,1} & b_{2,2} & \dots & b_{2,n} \\ \vdots & \vdots & \ddots & \vdots & \vdots & \vdots & \ddots & \vdots \\ 0 & 0 & \dots & 1 & b_{n,1} & b_{n,2} & \dots & b_{n,n} \end{array} \right] = [\mathcal{I}_n|\mathcal{B}] = [\mathcal{I}_n|\mathcal{A}^{-1}]$$

- Paralelizace, její možnosti, efektivnosti a škálovatelnosti - naprosto analogické.

$$\begin{bmatrix} a_{1,1} & a_{1,2} & \dots & a_{1,n} \\ 0 & a_{2,2} & \dots & a_{2,n} \\ \vdots & \vdots & \ddots & \vdots \\ 0 & 0 & \dots & a_{n,n} \end{bmatrix} \begin{bmatrix} x_1 \\ x_2 \\ \vdots \\ x_n \end{bmatrix} = \begin{bmatrix} b_1 \\ b_2 \\ \vdots \\ b_n \end{bmatrix}$$

- $n = \text{počet rovnic} \implies SU(n) = O(n^2)$.
- $p = n \ \& \ t_{\text{OAB}}(p) = \Theta(p) \text{ (SF 1-D mřížka)} \implies T(n, n) = O(n^2)$.
- $p = n \ \& \ t_{\text{OAB}}(p) = O(\log p) \text{ (hyperkrychle, WH mřížky)} \implies T(n, n) = O(n \log n)$.
- $p \ll n \ \& \text{cyklické mapování po řádcích} \implies n \text{ paralelních kroků} \implies$

$$T(n, p) = nO(\log p) + nO\left(\frac{n}{p}\right) = O(n \log p) + O\left(\frac{n^2}{p}\right).$$

- $p \ll n \ \& \text{blokové mapování po řádcích} \implies p \text{ paralelních kroků} \implies$

$$T(n, p) = pO\left(\frac{n^2}{p^2}\right) + pO\left(\frac{n}{p} \log p\right).$$

- $\mathcal{A}\vec{x} = \vec{b}$
kde $\mathcal{A} = (n \times n)$ -matice, $\vec{b} = (n \times 1)$ -vektor, a $\vec{x} = (n \times 1)$ -vektor n neznámých.
- (1) LU dekompozice: $\mathcal{A} = \mathcal{L}\mathcal{U}$,
kde $\mathcal{L} =$ spodní trojúhelníková matice, $\mathcal{U} =$ horní trojúhelníková matice.
- (2) Dopředná redukce: $\mathcal{U}\vec{x} = \mathcal{L}^{-1}\vec{b} = \vec{y}$ (čili $\forall \vec{b}$ řešíme $\mathcal{L}\vec{y} = \vec{b}$).
- (3) Zpětná substituce: $\vec{x} = \mathcal{U}^{-1}\vec{y}$ (čili $\forall \vec{y}$ řešíme $\mathcal{U}\vec{x} = \vec{y}$).

LU dekompozice

- Gaussova LU dekompozice: $\text{diag}(\mathcal{L}) = \vec{1}$.
- Choleskyho LU dekompozice: $\text{diag}(\mathcal{L}) = \text{diag}(\mathcal{U})$.

$$\begin{matrix} & A & & L & & U \\ & & & & & \\ \begin{bmatrix} a_{11} & a_{12} & a_{13} & a_{14} \\ a_{21} & a_{22} & a_{23} & a_{24} \\ a_{31} & a_{32} & a_{33} & a_{34} \\ a_{41} & a_{42} & a_{43} & a_{44} \end{bmatrix} & = & \begin{bmatrix} 1 & & & 0 \\ l_{21} & 1 & & \\ l_{31} & l_{32} & 1 & \\ l_{41} & l_{42} & l_{43} & 1 \end{bmatrix} & \begin{bmatrix} u_{11} & u_{12} & u_{13} & u_{14} \\ & u_{22} & u_{23} & u_{24} \\ & & u_{33} & u_{34} \\ 0 & & & u_{44} \end{bmatrix} & = &
 \end{matrix}$$

$$\begin{bmatrix} u_{11} & u_{12} & u_{13} & u_{14} \\ l_{21}u_{11} & l_{21}u_{12}^+ + u_{22} & l_{21}u_{13}^+ + u_{23} & l_{21}u_{14}^+ + u_{24}^+ \\ l_{31}u_{11} & l_{31}u_{12}^+ + l_{32}u_{22} & l_{31}u_{13}^+ + l_{32}u_{23}^+ + u_{33} & l_{31}u_{14}^+ + l_{32}u_{24}^+ + u_{34} \\ l_{41}u_{11} & l_{41}u_{12}^+ + l_{42}u_{22} & l_{41}u_{13}^+ + l_{42}u_{23}^+ + l_{43}u_{33} & l_{41}u_{14}^+ + l_{42}u_{24}^+ + l_{43}u_{34}^+ + u_{44} \end{bmatrix}$$

Blokově-cyklicky šachovnicové mapování $(n \times n)$ - \mathcal{A} na mřížce procesorů $M(r, r)$,

$$r = \sqrt{p}, n = rsq$$

$$\left[\begin{array}{ccc|ccc|ccc} \mathcal{A}_{1,1} & \cdots & \mathcal{A}_{1,r} & & & \mathcal{A}_{1,(q-1)r+1} & \cdots & \mathcal{A}_{1,qr} \\ \cdots & \cdots & \cdots & \cdots & & \cdots & \cdots & \cdots \\ \mathcal{A}_{r,1} & \cdots & \mathcal{A}_{r,r} & & & \mathcal{A}_{r,(q-1)r+1} & \cdots & \mathcal{A}_{r,qr} \\ \hline & \vdots & & \ddots & & & \vdots & \\ \hline \mathcal{A}_{(q-1)r+1,1} & \cdots & \mathcal{A}_{(q-1)r+1,r} & & & \mathcal{A}_{(q-1)r+1,(q-1)r+1} & \cdots & \mathcal{A}_{(q-1)r+1,qr} \\ \cdots & \cdots & \cdots & \cdots & & \cdots & \cdots & \cdots \\ \mathcal{A}_{qr,1} & \cdots & \mathcal{A}_{qr,r} & & & \mathcal{A}_{qr,(q-1)r+1} & \cdots & \mathcal{A}_{qr,qr} \end{array} \right]$$

Mapování 2-D mřížky procesorů $M(r, r)$ na \mathcal{A}

$$\left[\begin{array}{ccc|ccc|ccc} P_{1,1} & \cdots & P_{1,\sqrt{p}} & & & P_{1,1} & \cdots & P_{1,\sqrt{p}} \\ \cdots & \cdots & \cdots & \cdots & & \cdots & \cdots & \cdots \\ P_{\sqrt{p},1} & \cdots & P_{\sqrt{p},r} & & & P_{\sqrt{p},1} & \cdots & P_{\sqrt{p},r} \\ \hline & \vdots & & \ddots & & & \vdots & \\ \hline P_{1,1} & \cdots & P_{1,\sqrt{p}} & & & P_{1,1} & \cdots & P_{1,\sqrt{p}} \\ \cdots & \cdots & \cdots & \cdots & & \cdots & \cdots & \cdots \\ P_{\sqrt{p},1} & \cdots & P_{\sqrt{p},r} & & & P_{\sqrt{p},1} & \cdots & P_{\sqrt{p},r} \end{array} \right]$$

Algoritmus LUDECOMPOSITION(\mathcal{A})

for $k = 1, \dots, qr$ **do_sequentially** {

Fáze 1: $P_{\tilde{k}, \tilde{k}}$ počítá $\mathcal{A}_{k,k}^{-1}$;

Fáze 2: **for** $j = k, \dots, qr$ **do_in_parallel**

$P_{\tilde{k}, \tilde{j}}$ vyšle $\mathcal{A}_{k,k}^{-1}$ dolů v sloupci \tilde{k} , je-li $j = k$

$P_{\tilde{k}, \tilde{j}}$ vyšle $\mathcal{A}_{k,j}$ dolů v sloupci \tilde{j} jinak;

Fáze 3: **for** $i = k + 1, \dots, qr$ **do_in_parallel**

{ $P_{i, \tilde{k}}$ počítá $\mathcal{A}_{i,k} = \mathcal{A}_{k,k}^{-1} \mathcal{A}_{i,k}$;

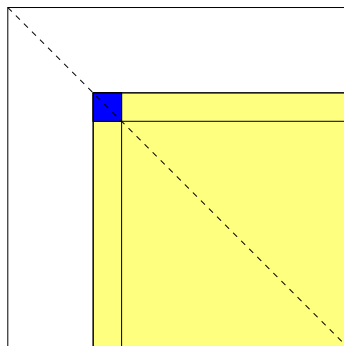
$P_{i, \tilde{k}}$ vyšle $\mathcal{A}_{i,k}$ doprava v řádku \tilde{i} };

Fáze 4: **for** $i = k + 1, \dots, qr$

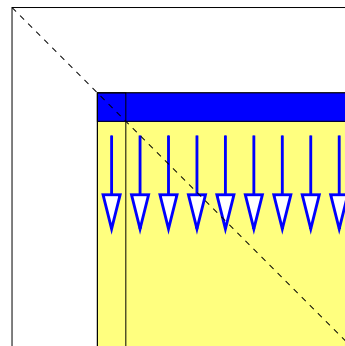
for $j = k + 1, \dots, qr$ **do_in_parallel**

$P_{i, \tilde{j}}$ počítá $\mathcal{A}_{i,j} = \mathcal{A}_{i,j} - \mathcal{A}_{i,k} \mathcal{A}_{k,j}$

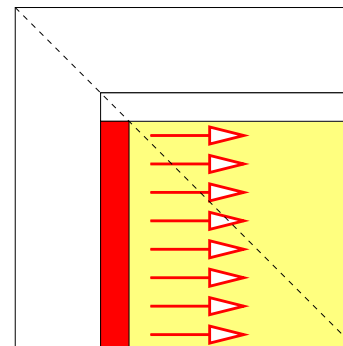
}



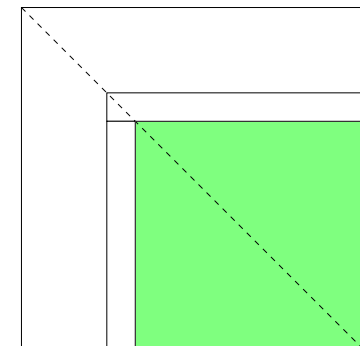
Fáze 1



Fáze 2



Fáze 3



Fáze 4

■ Jacobi

$$x_i(t+1) = -\frac{1}{a_{i,i}} [\sum_{j \neq i} a_{i,j} x_j(t) - b_i] \quad (1)$$

■ Gauss-Seidel

$$x_i(t+1) = -\frac{1}{a_{i,i}} [\sum_{j < i} a_{i,j} x_j(t+1) + \sum_{j > i} a_{i,j} x_j(t) - b_i]$$

■ Jacobiho superrelaxace (JOR)

$$x_i(t+1) = (1 - \gamma)x_i(t) - \frac{\gamma}{a_{i,i}} [\sum_{j \neq i} a_{i,j} x_j(t) - b_i]$$

■ Gauss-Seidelova superrelaxace (SOR)

$$x_i(t+1) = (1 - \gamma)x_i(t) - \frac{\gamma}{a_{i,i}} [\sum_{j < i} a_{i,j} x_j(t+1) + \sum_{j > i} a_{i,j} x_j(t) - b_i]$$

Pro účely vysvětlení paralelního řešení, přepíšeme rovnici (1) na tvar

$$x_i(t+1) = \frac{r_i(t)}{a_{i,i}} + x_i(t),$$

kde $\vec{r}(t) = \vec{b} - \mathcal{A}\vec{x}(t) =$ residuální (zbytkový) vektor.

Algoritmus PARALLELJACOBI($\mathcal{A}, \vec{x}, \vec{b}$)

$t := 0; \vec{x}(t) :=$ počáteční hodnota;

$\vec{r}(t) := \vec{b} - \mathcal{A}\vec{x}(t);$

(* počáteční residuál: násobení matice vektorem *)

while ($\|\vec{r}(t)\| > \varepsilon$) **do_sequentially**

(* $\|\vec{r}(t)\| = \sqrt{\vec{r}(t)^T \cdot \vec{r}(t)}$ = skalární součin *)

{ $t := t + 1;$

(* paralelní redukce + OAB *)

for $i := 0, \dots, n-1$ **do_in_parallel**

$x_i(t) = r_i(t-1)/a_{i,i} + x_i(t-1);$

(* $r_i(t-1), x_i(t-1), a_{i,i}$ musí být v 1 procesoru *)

bariérová synchronizace;

$\vec{r}(t) = \vec{b} - \mathcal{A}\vec{x}(t);$

(* nový residuál: násobení matice vektorem *)

bariérová synchronizace;}

$\vec{x} := \vec{x}(t);$

Žádná datová závislost v rámci téže iterace \implies krásná paralelizovatelnost.

- Sekvenční Gauss-Seidelova metoda je rychlejší než sekvenční Jacobiho.
- Je však inherentně sekvenční: Je-li \mathcal{A} hustá nebo nepravidelně řádká matice, pak pro výpočet $x_i(t+1)$ potřebujeme znát hodnoty $x_j(t+1)$ pro všechny nebo skoro všechny $j < i$.
- Tuto nesnáz lze často obejít, je-li matice \mathcal{A} je řádká a speciálního typu.
- Toto je případ většiny matic vzniklých při diskretizaci parciálních dif. rovnic.
- Diskretizaci lze provést metodou
 - konečných diferencí,
 - konečných prvků (FEM).

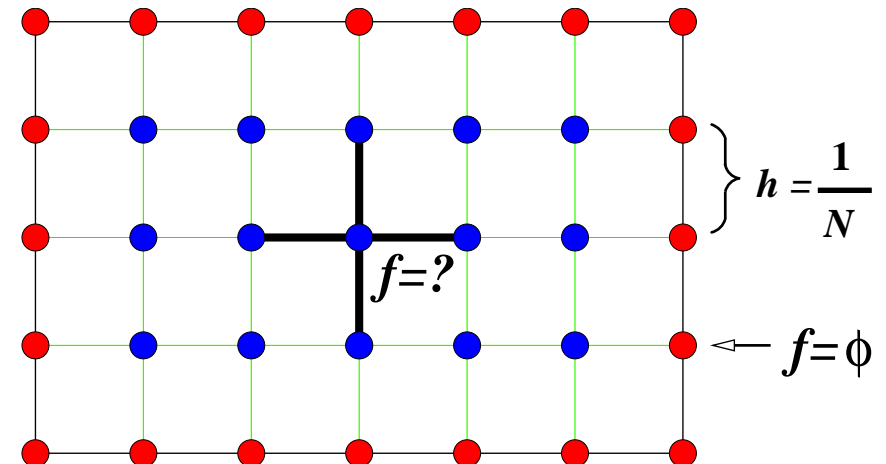
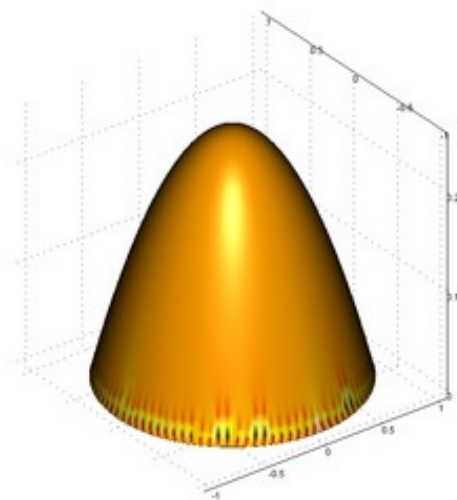
Poissonova rovnice = lineární parciální diferenciální rovnice

$$\frac{\partial^2 f}{\partial x^2}(x, y) + \frac{\partial^2 f}{\partial y^2}(x, y) = g(x, y), \quad (x, y) \in D = [a, b] \times [c, d], \quad (2)$$

kde $g : D \rightarrow \mathbb{R}$ je známá funkce.

Úkolem je nalézt funkci $f : D \rightarrow \mathbb{R}$ takovou, že

- (a) splní rovnici (2),
- (b) na okraji oblasti D má předepsané hodnoty φ .



- Síťka $(N + 1)^2$ rovnoměrně rozmístěných bodů v oblasti D , $h = 1/N$,

$$f_{i,j} = f\left(\frac{i}{N}, \frac{j}{N}\right), \quad 0 \leq i, j \leq N,$$

$$g_{i,j} = g\left(\frac{i}{N}, \frac{j}{N}\right), \quad 0 < i, j < N.$$

- Aproximace:

$$\frac{\partial^2 f}{\partial x^2}(x, y) \approx \frac{1}{h^2} [f(x + h, y) - 2f(x, y) + f(x - h, y)],$$

\implies Rovnice (2) \rightarrow SLR $(N - 1)^2$ rovnic s $(N - 1)^2$ neznámými $f_{i,j}$

$$f_{i,j} = \frac{1}{4} \left[f_{i+1,j} + f_{i-1,j} + f_{i,j+1} + f_{i,j-1} - \frac{1}{N} g_{i,j} \right] \quad (3)$$

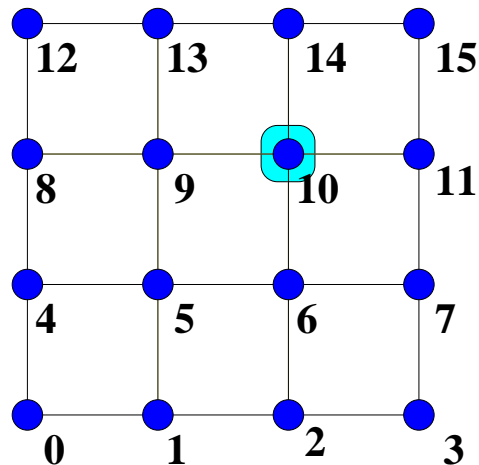
- $\mathcal{A} \overrightarrow{x} = \overrightarrow{b}$, kde

- \mathcal{A} = matice typu $(N - 1)^2 \times (N - 1)^2$,
- \overrightarrow{x} = vektor $(N - 1)^2$ neznámých hodnot $f_{i,j}$ na vnitřních bodech sítě,
- \overrightarrow{b} = vektor hodnot závislých na $g_{i,j}$ a na známých okrajových podmínkách f .

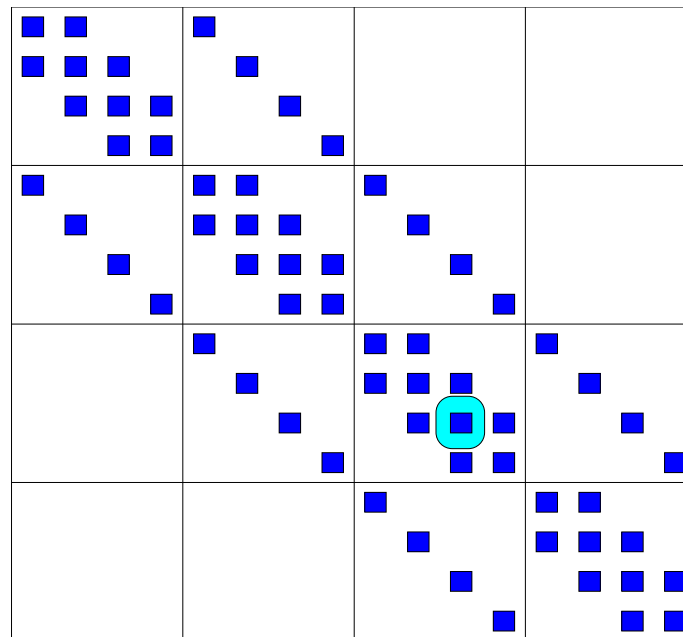
Matice \mathcal{A} = speciální & řádká = blokově tri-diagonální.

$$\mathcal{A} = \begin{bmatrix} \mathcal{R} & \mathcal{E} & 0 & \dots & \dots & 0 \\ \mathcal{E} & \mathcal{R} & \mathcal{E} & 0 & \dots & \\ 0 & \mathcal{E} & \mathcal{R} & \mathcal{E} & \dots & 0 \\ \vdots & & \ddots & \ddots & \ddots & \\ \vdots & & & \ddots & \ddots & \mathcal{E} \\ 0 & \dots & \dots & 0 & \mathcal{E} & \mathcal{R} \end{bmatrix}, \quad \mathcal{R} = \begin{bmatrix} -4 & 1 & 0 & \dots & \dots & 0 \\ 1 & -4 & 1 & 0 & \dots & \\ 0 & 1 & -4 & 1 & \dots & 0 \\ \vdots & & \ddots & \ddots & \ddots & \\ \vdots & & & \ddots & \ddots & 1 \\ 0 & \dots & \dots & 0 & 1 & -4 \end{bmatrix},$$

a \mathcal{E} = jednotková matice.



(a)



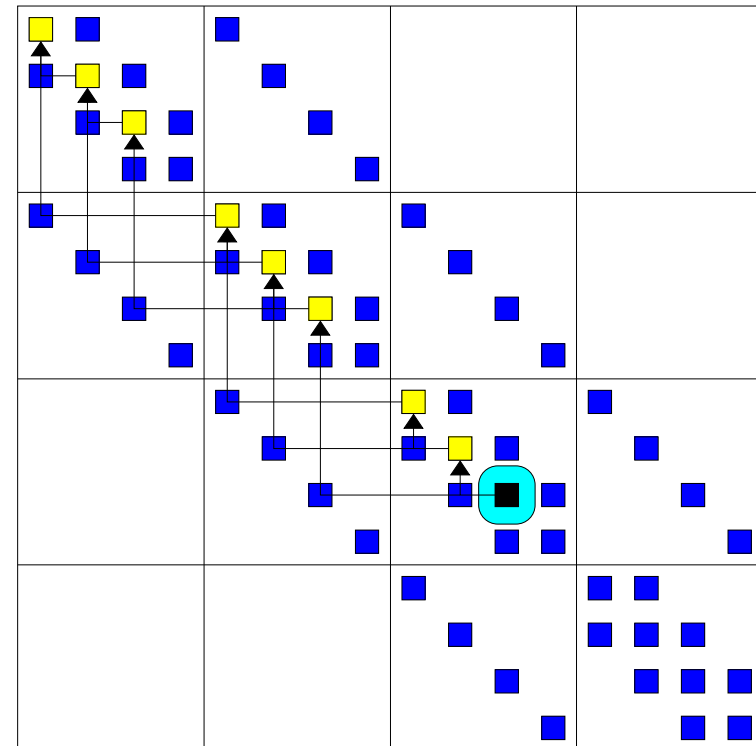
(b)

Bez problému: číslování bodů mřížky je nepodstatné.

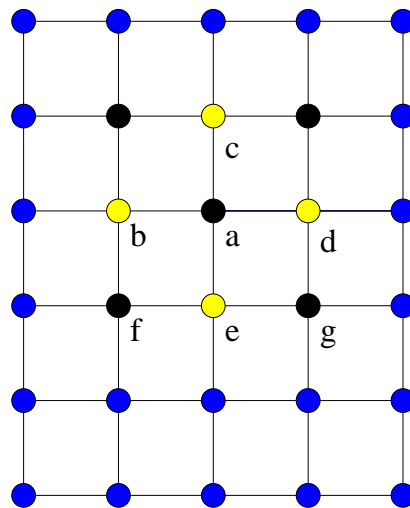
$$f_{i,j}(t+1) = \frac{1}{4} \left[f_{i+1,j}(t) + f_{i-1,j}(t) + f_{i,j+1}(t) + f_{i,j-1}(t) - \frac{1}{N} g_{i,j} \right]. \quad (4)$$

Paralelní Gauss-Seidelův algoritmus

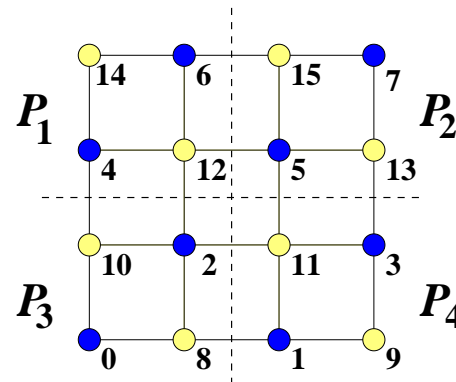
Číslování má dopad na datové závislosti, a tudíž na paralelismus:



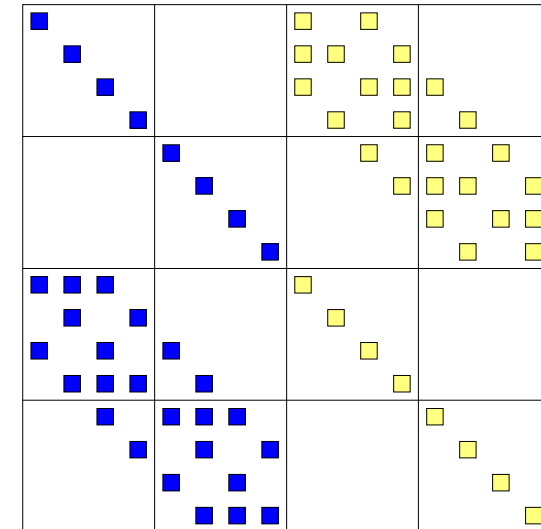
Číslování indukované 2-barvením založeným na paritě



(a)



(b)



(c)

Algoritmus $\text{PARALLELGS}(\mathcal{A}, \vec{x}, \vec{b})$

repeat

Fáze 0: proved' výpočet (4) na všech **modrých** bodech paralelně;

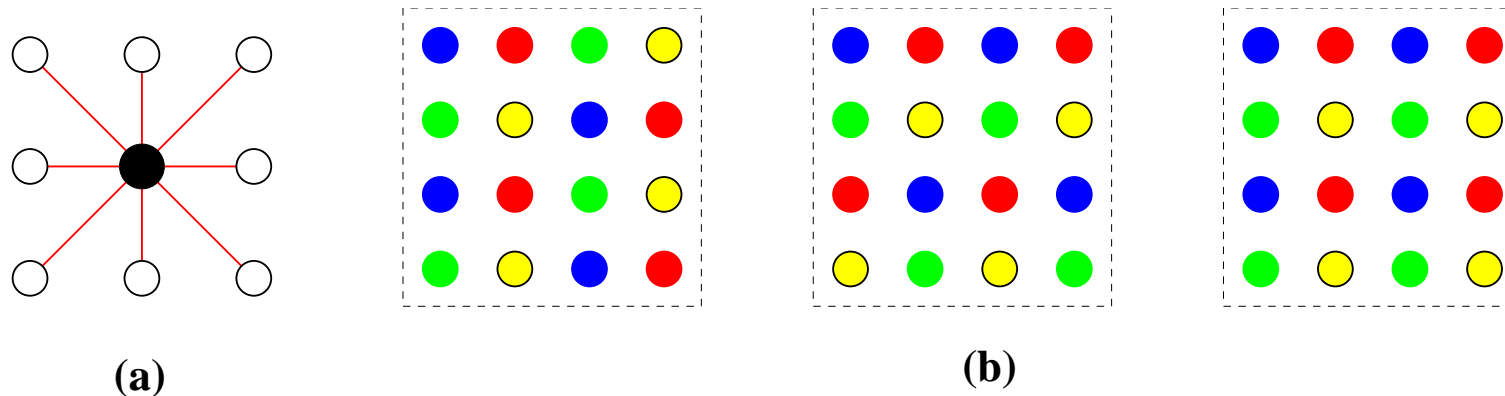
Fáze 1: proved' výpočet (4) na všech **žlutých** bodech paralelně;

until (není dosaženo dostatečně přesné řešení)

$$\frac{\partial^2 f}{\partial x^2}(x, y) + \frac{\partial^2 f}{\partial y^2}(x, y) + \frac{\partial^2 f}{\partial x \partial y}(x, y) = g(x, y)$$

⇒ 9-bodová diskretizace

∃ pouze 3 různá barvení 2-D sítky pomocí 4 barev, odpovídající této diskretizaci.



4-fázový paralelní Gauss-Seidelův algoritmus:

repeat

proved' výpočet na všech **červených** bodech paralelně;

proved' výpočet na všech **modrých** bodech paralelně;

proved' výpočet na všech **zelených** bodech paralelně;

proved' výpočet na všech **žlutých** bodech paralelně;

until (není dosaženo dostatečně přesné řešení)